

ЗОК-1
1609

АКАДЕМИЯ НАУК СССР

ОПТИКА
и
СПЕКТРОСКОПИЯ

15632
—

—
ТОМ XVII

ВЫПУСК

4

ОКТЯБРЬ 1964



ИЗДАТЕЛЬСТВО · НАУКА ·



УДК 548.0 : 535.56

ОТРАЖЕНИЕ И ПРЕЛОМЛЕНИЕ СВЕТА ОПТИЧЕСКИ АКТИВНЫМИ ИНВЕРСИОННО-ПЛАНАЛЬНЫМИ КРИСТАЛЛАМИ

Б. В. Бокутъ и Ф. И. Федоровъ

Определены амплитуды волн отраженной и преломленных оптически активным кристаллом инверсионно-планальным класса тетрагональной сингонии в различных случаях ориентации бинормали. Обсуждается возможность экспериментального обнаружения и измерения параметра оптической активности таких кристаллов. Показано, что равенство нулю скалярного параметра гирации еще не указывает на отсутствие свойства оптической активности в кристаллах.

В предыдущей работе^[1] были получены общие выражения для амплитудных множителей волн, отраженных и преломленных инверсионно-планальным оптически активным кристаллом тетрагональной сингонии с произвольной ориентацией оптической оси. Применим результаты^[1] [формулы (27)–(31)] для анализа полей отраженной и преломленных волн в различных случаях ориентации бинормали относительно поверхности раздела, а также в зависимости от поляризации падающей волны.

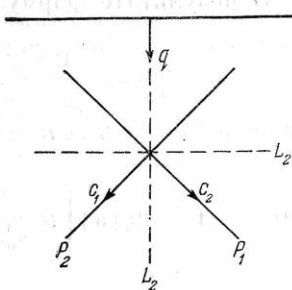
1. Бинormalь с параллельна плоскости раздела сред.

а. Плоскость падения параллельна бинормали и проходит через кристаллическую ось второго порядка L_2 (L_2 делит пополам угол между плоскостями симметрии P_1 , P_2). При такой ориентации кристалла и плоскости падения имеем^[1,2] (см. рисунок)¹

$$q = \frac{c_1 + c_2}{\sqrt{2}}, \quad b = |a|c, \quad a = |a| \frac{c_2 - c_1}{\sqrt{2}}, \quad bc = |a|, \quad ac = qc = bc_1 = bc_2 = 0. \quad (1)$$

При этом формулы (30) работы^[1] принимают следующий вид

$$\left. \begin{aligned} g &= p\bar{\eta}q, \quad g = \frac{p\bar{\eta}^2}{n}, \quad n_0^2 = \varepsilon_0, \quad n_e^2 = \varepsilon_e + \left(1 - \frac{\varepsilon_e}{\varepsilon_0}\right)a^2, \\ n_{\pm}^2 &= \frac{1}{2\varepsilon_0} [\varepsilon_0(\varepsilon_0 + a^2) + \varepsilon_e(\varepsilon_0 - a^2) \pm (\varepsilon_0 - a^2)\sqrt{(\varepsilon_0 - \varepsilon_e)^2 + 4p^2n^2}], \\ \eta_0^2 &= \varepsilon_0 - a^2, \quad \eta_e^2 = \eta_0^2 \frac{\varepsilon_e}{\varepsilon_0}, \quad \bar{\eta} = \frac{\eta_0}{2\sqrt{\varepsilon_0}} (\sqrt{\varepsilon_e} + \sqrt{\varepsilon_0}), \\ \eta_+ &= \sqrt{\eta_0^2 + \frac{2g^2}{n_0^2 - n_e^2}}, \quad \eta_- = \sqrt{\eta_e^2 - \frac{2g^2}{n_0^2 - n_e^2}}, \quad \gamma = \frac{g}{n_0^2 - n_e^2}. \end{aligned} \right\} \quad (2)$$



¹ Относительно обозначенений см. [1].

Определив выражения $\mathbf{q}\mathbf{h}_{\pm}$, $\mathbf{a}\mathbf{h}_{\pm}$ и $\mathbf{b}\mathbf{e}_{\pm}$ (31)^[1] с учетом (1) и (2), по формулам [1] (23), находим амплитудные множители отраженной A' , B' и преломленных A_{\pm} волн

$$\left. \begin{aligned} A' &= A \frac{\gamma - \gamma_+}{\gamma + \gamma_+} - 2iB \frac{\gamma (\gamma_+ - \gamma_-) n \bar{n} \eta}{(\gamma + \eta)(n^2 \eta + \bar{n}^2 \eta)}, \\ B' &= B \frac{n_0^2 n_e \eta_+ \eta - n^2 n_- \eta_0^2}{n_0^2 n_e \eta_+ \eta + n^2 n_- \eta_0^2} + 2iA \frac{pn \eta \bar{\eta}}{(\eta^2 \eta + \bar{n}^2 \eta)}, \\ A_+ &= \frac{2n_0 \eta |a|}{\gamma + \gamma_+} \left(A - iB \frac{\gamma (\gamma_+ - \gamma_-) n n_0}{n^2 \eta + \bar{n}^2 \eta} \right), \\ A_- &= 2n_0 \eta |a| \left[B \frac{n n_0 n_e \eta_0}{n_0^2 n_e \eta_+ \eta + n^2 n_- \eta_0^2} + iA \frac{1}{\gamma + \eta} \left(\gamma - \frac{pn^2 \eta}{n(n^2 \eta + \bar{n}^2 \eta)} \right) \right]. \end{aligned} \right\} \quad (3)$$

Если пренебречь оптической активностью, то выражения (3) совпадают с соответствующими значениями A' , B' , A_{\pm} для неактивных односимметричных кристаллов^[1].

б. Плоскость падения перпендикулярна бинормали. Для этого случая имеем (см. рисунок)

$$\begin{aligned} \mathbf{q} &= \frac{\mathbf{c}_1 + \mathbf{c}_2}{\sqrt{2}}, \quad \mathbf{b} = |\mathbf{a}| \frac{\mathbf{c}_1 - \mathbf{c}_2}{\sqrt{2}}, \quad \mathbf{a} = |\mathbf{a}| \mathbf{c}, \quad \mathbf{b}\mathbf{c} = \mathbf{q}\mathbf{c} = \mathbf{a}\mathbf{c}_1 = \mathbf{a}\mathbf{c}_2 = 0, \\ g &= p(\eta\mathbf{q} - \mathbf{b}), \quad g = \frac{p}{n}(\eta^2 - a^2), \quad n_e^2 = \varepsilon_e, \quad n_0^2 = \varepsilon_e - a^2. \end{aligned}$$

В результате формулы [1] (31), (23) дают

$$\left. \begin{aligned} A' &= A \frac{\gamma - \eta_+}{\gamma + \eta_+} + 2iB \frac{\gamma (\gamma_+ - \gamma_-) n \bar{n} \eta}{(\gamma + \eta)(n^2 \eta + \bar{n}^2 \eta)}, \\ B' &= B \frac{n_0^2 \eta_+ - n^2 n_- \eta_0}{n_0^2 \eta_+ + n^2 n_+ \eta_0} - 2iA \frac{pn \eta \bar{\eta}}{(\eta^2 \eta + \bar{n}^2 \eta)}, \\ A_+ &= 2\eta |a| \left[B \frac{n n_0^3}{n_0^2 \eta_+ + n^2 n_+ \eta_0} - iA \frac{n_e}{\gamma + \eta} \left(\gamma - \frac{pn^2 \eta}{n(n^2 \eta + \bar{n}^2 \eta)} \right) \right], \\ A_- &= 2\eta |a| \left(A \frac{n_e}{\gamma + \eta_-} - iB \frac{\gamma n_0^2}{n^2 \eta + \bar{n}^2 \eta} \right). \end{aligned} \right\} \quad (4)$$

2. Бинормаль перпендикулярна поверхности раздела.

а. Плоскость падения проходит через бинормаль \mathbf{c} и кристаллографическую ось второго порядка L_2 . Для рассматриваемого случая

$$\begin{aligned} \mathbf{q} &= \mathbf{c}, \quad \mathbf{b} = |\mathbf{a}| \frac{\mathbf{c}_1 + \mathbf{c}_2}{\sqrt{2}}, \quad \mathbf{a} = |\mathbf{a}| \frac{\mathbf{c}_1 - \mathbf{c}_2}{\sqrt{2}}, \quad \mathbf{a}\mathbf{c} = \mathbf{b}\mathbf{c} = \mathbf{q}\mathbf{c} = \mathbf{a}\mathbf{c}_1 = \mathbf{a}\mathbf{c}_2 = 0, \quad g = p\mathbf{b}, \\ g &= \frac{pa^2}{n}, \quad n_e^2 = \varepsilon_0 + \left(1 - \frac{\varepsilon_0}{\varepsilon_e} \right) a^2, \quad n_0^2 = \frac{\varepsilon_0}{\varepsilon_e} (\varepsilon_e - a^2), \end{aligned}$$

и на основании тех же формул работы [1] находим

$$\left. \begin{aligned} A' &= A \frac{\gamma - \eta_+}{\gamma + \eta_+} - 2iB \frac{\gamma (\gamma_+ - \gamma_-) n \bar{n} \eta}{(\gamma + \eta)(n^2 \eta + \bar{n}^2 \eta)}, \\ B' &= B \frac{n_0^2 n_e \eta_+ - n^2 n_- \eta_0}{n_0^2 n_e \eta_+ + n^2 n_+ \eta_0}, \\ A_+ &= 2\eta n_0 |a| \left(A \frac{1}{\gamma + \eta_+} + iB \frac{\gamma n n_0}{n^2 \eta + \bar{n}^2 \eta} \right), \\ A_- &= -2\eta n_0 |a| \left(B \frac{n n_0 n_e}{n_0^2 n_- \eta_+ + n^2 n_+ \eta_0} + iA \frac{\gamma (n^2 \eta - \bar{n}^2 \eta)}{(\gamma + \eta)(n^2 \eta + \bar{n}^2 \eta)} \right). \end{aligned} \right\} \quad (5)$$

6. Нормальное падение. Так как вектор активности \mathbf{g} всегда расположен в плоскости, перпендикулярной бинормали, и определяется векторами \mathbf{c}_1 , \mathbf{c}_2 , а в рассматриваемом случае $\mathbf{b}\mathbf{c}_1 = \mathbf{b}\mathbf{c}_2 = \mathbf{q}\mathbf{c}_1 = \mathbf{q}\mathbf{c}_2 = 0$, то $\mathbf{g} = \mathbf{g} = 0$. Следовательно, в этом случае отраженная и преломленные волны будут распространяться в точности так же, как и в неактивном одноосном кристалле.

3. Рассмотрим случай, когда плоскость падения совпадает с одной из плоскостей симметрии кристалла, а бинормаль ориентирована произвольно относительно плоскости раздела. При этом

$$\begin{aligned} \mathbf{a}\mathbf{e} &= \mathbf{a}\mathbf{c}_2 = \mathbf{b}\mathbf{c}_1 = \mathbf{q}\mathbf{c}_1 = 0, \quad \mathbf{a} \parallel \mathbf{c}_1, \\ g &= p(\mathbf{b}\mathbf{c}_2 + \mathbf{q}\mathbf{c}_2) \mathbf{c}_1, \quad g = 0, \quad \gamma = 0, \\ n_+ &= n_0, \quad n_- = n_e, \quad \gamma_+ = \gamma_0, \quad \gamma_- = \gamma_e. \end{aligned} \quad (6)$$

Для амплитудных множителей получаем выражения

$$\left. \begin{aligned} A' &= A \frac{\gamma - \eta_0}{\gamma + \eta_0}, \\ B' &= B \left[\frac{\mathbf{b}\mathbf{e}(n_0^2 \eta_0 \eta - n^2 \eta_0^2) + \mathbf{q}\mathbf{e}^2(n^2 \eta_0 - n_0^2 \eta_0)}{\mathbf{b}\mathbf{e}(n_0^2 \eta_0 \eta + n^2 \eta_0^2) - \mathbf{q}\mathbf{e}^2(n^2 \eta_0 + n_0^2 \eta_0)} + 2i \frac{\mathbf{a}\mathbf{g}(n^2 \eta_0^2)}{(n^2 \eta_0 + n_0^2 \eta_0)^2} \right], \\ A_+ &= -A \frac{2\eta n_0 \mathbf{a}^2 \sqrt{|\mathbf{m}_0 \mathbf{c}|^2}}{(\gamma + \eta_0)(\gamma_0 \mathbf{b}\mathbf{e} - \mathbf{a}^2 \mathbf{q}\mathbf{c})}, \\ A_- &= B \left[\frac{n \eta n_0^2 \mathbf{a}^2 \sqrt{|\mathbf{m}_e \mathbf{c}|^2}}{\mathbf{b}\mathbf{e}(n_0^2 \eta_0^2 + n_0^2 \eta_e \eta_e)} - \mathbf{q}\mathbf{e}^2(n^2 \eta_0 + n_0^2 \eta_0) + i \frac{\mathbf{a}\mathbf{g} n^2 \eta_0^2 \sqrt{n^2(\mathbf{b}\mathbf{e})^2 - \eta^2(\mathbf{q}\mathbf{c})^2}}{(n^2 \eta_0 + n^2 \eta_0)(\mathbf{a}^2 \mathbf{q}\mathbf{c} - \mathbf{b}\mathbf{e})} \right]. \end{aligned} \right\} \quad (7)$$

Произведенные расчеты показывают, что амплитудные множители A' , B' , A_{\pm} являются в общем комплексными величинами [формула (3)–(5), (7)]. Это приводит к тому, что в инверсионно-планарных кристаллах свойство оптической активности проявляется только в факте эллиптической поляризации отраженной и преломленных волн. Вращение плоскости поляризации у них не имеет места ни при каком направлении распространения света, в том числе и вдоль оптической оси, так как $\gamma \neq 1$ при любых η_{\pm} . При совпадении плоскости падения с одной из плоскостей симметрии кристалла скалярный параметр гирации $g = 0$. В этом случае не показатель преломления оптическая активность не оказывает никакого влияния (6). Ориентация векторов магнитного поля преломленных волн также не отличается от ориентации этих векторов в одноосных неактивных кристаллах, так как $\gamma = 0$ (6). В силу параллельности векторов \mathbf{c}_0 и \mathbf{g} (см. формулы (29)^[1] и (7)) вектор \mathbf{E}_+ также оказывается линейным^[3]. Однако при этом электрический вектор \mathbf{E}_- является не линейным, как в случае неактивных кристаллов, эллиптическим, поскольку векторы \mathbf{e}_1 и \mathbf{g} взаимно ортогональны (см. (28), (29)^[1] и (7)). Эллиптическими оказываются и векторы поля \mathbf{E}' , \mathbf{H}' отраженной волны (см. (25)^[1] и (7)). Эллиптичность этих векторов обусловлена тем, что вектор оптической активности (гирации) $\mathbf{g} \neq 0$.

Таким образом, равенство нулю скалярного параметра гирации g во все не означает отсутствия оптически активных свойств кристаллов, а свидетельствует лишь о том, что данная среда не может вращать плоскость поляризации.

Подобный случай имеет место в кристаллах планарных классов средних сингоний^[3, 4].

Определим эллиптичность отраженной волны в случае, когда плоскость падения совпадает с плоскостью симметрии. Для этого воспользуемся приведенным вектором^[1] отраженной волны, который имеет в нашем случае вид (см. (25)^[1])

$$\mathbf{E}' = \sqrt{\frac{|\mathbf{E}'|^2}{\mathbf{E}^2}} \mathbf{E}' = A \left\{ (X\mathbf{a} + \mathbf{x}Y[\mathbf{n}'\mathbf{a}]) + i \frac{XZ\mathbf{z}}{X^2 + \mathbf{z}^2 Y^2} (X[\mathbf{n}'\mathbf{a}] - \mathbf{z}Y\mathbf{a}) \right\}, \quad (8)$$

РЕПОЗИТОРИЙ

где через X , Y обозначены вещественные множители при A и B , а Z —мнимая часть B' в выражении (7) для амплитуд отраженной волны; $z = \frac{B}{A}$. В (8) вещественная часть вектора B'_r дает большую, а мнимая — малую, оси эллипса колебаний отраженной волны. Из (8) непосредственно находится ее эллиптичность

$$\frac{b}{a} = \frac{\gamma XZ}{X^2 + \gamma^2 Y^2}. \quad (9)$$

Отсюда видно, что если падающая волна будет линейно поляризована перпендикулярно ($\chi=0$) или параллельно ($\chi=\infty$) плоскости падения, то отраженная волна будет также линейно поляризована.

Найдем экстремальные значения эллиптичности отраженной волны в зависимости от азимута колебания падающей волны χ . Приравнивая нулю производную по χ и решая полученное уравнение, находим

$$z_{J,2} = \pm \frac{X}{Y}, \quad (10)$$

Значения x_1 и x_2 соответствуют максимумам эллиптичности отраженной волны

$$\frac{b}{a} = \pm \frac{Z}{2Y} = \pm \frac{\text{ag} \eta_{\ell e}^2}{(n_0^2 \eta_e + n_0^2 \eta)^2} \frac{bc(n_0^2 \eta_e \eta + n^2 \eta_0^2) - qea^2(n_0^2 \eta_e + n_0^2 \eta)}{bc(n_0^2 \eta_e \eta - n^2 \eta_0^2) + qea^2(n_0^2 \eta_e - n_0^2 \eta)}. \quad (11)$$

Для обнаружения эллиптической поляризации отраженной волны можно поступить следующим образом. Направим на кристалл линейно поляризованную волну с азимутом колебаний, определяемым (10). Плоскость падения должна совпадать с плоскостью симметрии кристалла, оптическая ось которого может быть произвольно ориентирована относительно поверхности раздела. Изменяя угол падения, можно добиться совпадения нормалей преломленных волн с бипримаральной кристалла. В этом случае отраженный свет будет строго линейно поляризованным [так как $g = 0$ (6) и (11) дает $\frac{b}{a} = 0$]. При всех других углах падения отраженный свет будет иметь эллиптическую поляризацию.

Когда плоскость падения не совпадает с плоскостью симметрии, согласно (3), (4), (5), отраженная и преломленные волны будут в общем случае поляризованы эллиптически.

Пусть на кристалл падает линейно поляризованная в плоскости падения волна ($B=0$). При этом в случае 2, а отраженная волна будет линейно поляризована в плоскости падения, а в случаях 1, а и 1, б она будет поляризована эллиптически, с большой осью эллипса колебаний, перпендикулярной плоскости падения, и малой — в плоскости падения. Эллиптичность определяется следующими выражениями [см. (3), (4)]

$$\left. \begin{aligned} \frac{b}{a} &= \frac{2pn\eta\bar{\eta}}{(\bar{\eta} - \tau_0)(n^2\bar{\eta} + \bar{n}^2\bar{\eta})} \quad \text{для случая 1, а,} \\ \frac{b}{a} &= -\frac{2pn\eta\bar{\eta}}{(\tau_0 - \bar{\eta})(n^2\bar{\eta} + \bar{n}^2\bar{\eta})} \quad \text{для случая 1, б.} \end{aligned} \right\} \quad (12)$$

Предположим теперь, что падающая волна линейно поляризована в плоскости, перпендикулярной плоскости падения ($A=0$). Во всех разобраных случаях ориентации кристалла 1, а, 1, б, 2, а отраженная волна будет эллиптически поляризована. Большая ось эллипса колебания оказывается расположенной в плоскости падения, а малая перпен-

дикуюлярна к плоскости падения. Отношение полуосей эллипсов равно, соответственно

$$\left. \begin{aligned} \frac{b}{a} &= -\frac{2pn\gamma\varepsilon_0(\eta_0 - \eta_e)}{\tau_i(\varepsilon_0 - \varepsilon_e)(\eta + \eta_i)(n^2\eta_e\eta - n^2\eta_0)} \quad \text{для 1, а,} \\ \frac{b}{a} &= \frac{2pn\eta(\eta_0 - \eta_e)(\eta^2 - a^2)}{(\varepsilon_0 - \varepsilon_e)(\eta + \eta_i)(n^2\eta_e\eta - n^2\eta_0)} \quad \text{для 1, б,} \\ \frac{b}{a} &= -\frac{2pn\varepsilon_0(\eta_0 - \eta_e)}{(\varepsilon_0 + \varepsilon_e)(\eta + \eta_i)(n^2\eta_e\eta - n^2\eta_0)} \quad \text{для 2, а.} \end{aligned} \right\} \quad (13)$$

Следует заметить, что ожидаемый эффект должен быть мал, так как эпилитичности (11)–(13) пропорциональны малому параметру активности $p = k_1 p_0$. Однако выражения (12), (13) и (11) все же дают возможность определить параметр оптической активности. Это связано с наличием в знаменателях (12), (13) и (11) разностей $(\eta - \eta_0)$, $(\eta - \eta_e)$ и т. д., которые при помощи подбора соответствующей иммерсионной жидкости могут быть сделаны достаточно малыми^[4]. Путем подбора показателя преломления иммерсионной жидкости, граничащей с кристаллом, можно, вероятно, добиваться даже круговой поляризации отраженной волны.

Таким образом, изложенный в работе^[4] метод определения параметра оптической активности для кристаллов планарных классов средних сингоний полностью применим и для определения параметра r кристаллов инверсионно-планарного класса тетрагональной сингонии.

Литература

- [1] Ф. И. Федоров, Б. В. Бокутъ. Опт. и спектр., 15, 798, 1964.
[2] Ф. И. Федоров. Оптика анизотропных сред. Изд. АН БССР, Минск, 1958.
[3] Ф. И. Федоров. Опт. и спектр., 6, 377, 1959.
[4] Ф. И. Федоров, Б. В. Бокутъ, А. Ф. Константинова. Кристаллография, 7, 910, 1962.

Поступило в Редакцию 7 мая 1963 г.